

Téoria do momento angular

[SAK 3.1]

- Rotações em torno de eixos diferentes não comutam. Veremos que as relações de comutação dos componentes do momento angular só conseguem dizer:
 - Vamos começar estudando ~~com~~ essa não-comutatividade das rotações.

Exemplos da não-comutatividade de rotações

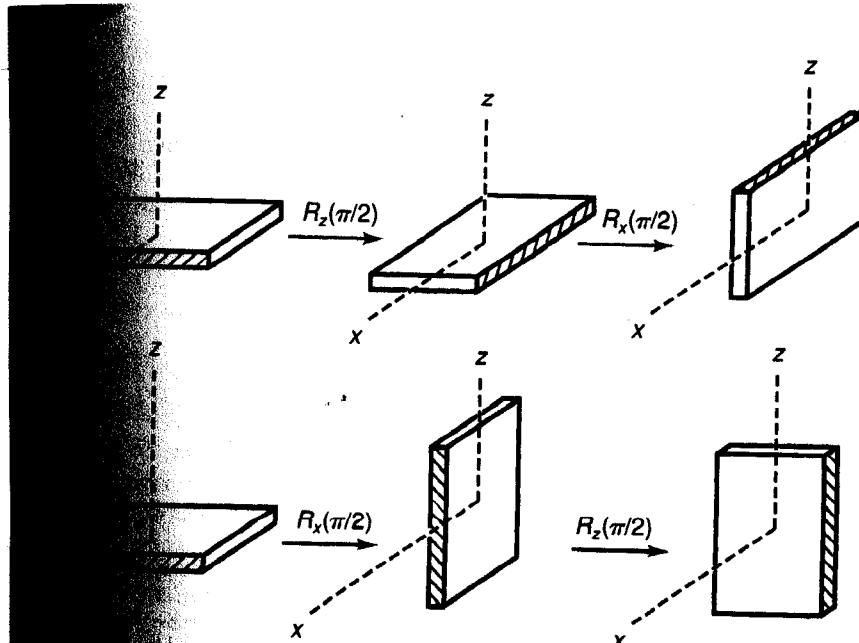


Fig. 3.1. Example to illustrate the noncommutativity of finite rotations.

Rotacões no espaço R₃

- Representadas por matrizes 3×3 reais e ortogonais: $RR^T = R^TR = \mathbb{1}$.
- Vetores se transformam assim:
- Matrizes ortogonais preservam a norma de \vec{v} .

$$\begin{pmatrix} v_x \\ v_y \\ v_z \end{pmatrix} = R \begin{pmatrix} v_x' \\ v_y' \\ v_z' \end{pmatrix}$$

ROTACÃO de ϕ em torno de \hat{z}

- Sentido positivo = rica-rotação avançar na direção $\hat{z} > 0$.

$$R_z = \begin{pmatrix} \cos\phi & -\sin\phi & 0 \\ \sin\phi & \cos\phi & 0 \\ 0 & 0 & 1 \end{pmatrix} \quad R_y = \begin{pmatrix} \cos\phi & 0 & \sin\phi \\ 0 & 1 & 0 \\ -\sin\phi & 0 & \cos\phi \end{pmatrix} \quad R_x = \begin{pmatrix} 1 & 0 & 0 \\ 0 & \cos\phi & -\sin\phi \\ 0 & \sin\phi & \cos\phi \end{pmatrix}$$

ROTACÕES INFINITESIMAS

- $\cos\phi \approx 1 - \frac{\varepsilon^2}{2}$, $\sin\phi \approx \varepsilon$ nas matrizes acima.

• (claram) ~~$R_x(\varepsilon)R_y(\varepsilon) - R_y(\varepsilon)R_x(\varepsilon)$~~ $= \begin{pmatrix} 0 & -\varepsilon^2 & 0 \\ \varepsilon^2 & 0 & 0 \\ 0 & 0 & 0 \end{pmatrix} = R_z(\varepsilon^2) - \mathbb{1}$

\Rightarrow Rotacões infinitesimais em termos de eixos diferentes compartem até ordem ε .

\Rightarrow Não compartem até ordem ε^2 .

(ignorando termos de ordem ε^2).

- ROTAÇÕES INFINITESIMIS NA MQ

- O estado (ket) descreve um sist. quântico na mudança de rotação.
- Dado um op. de rotação R (= matriz ortogonal, 3×3), procuramos um op. unitário $D(R)$ no espaço \mathcal{H} tal que

$$(Id)_R = D(R)|\alpha\rangle$$

\in Rodado \in Original

- Repare que a mesma rotação R compõe a série op. unitários $D(R)$, correspondentes ao círculo de spin $\frac{1}{2} \rightarrow D(R) \times$ matrizes 2×2

$$\text{spin } 1 \rightarrow D(R) \quad 3 \times 3$$

- Isto concretizamos dois operadores unitários infinitesimal com forma $U_i = 1 - i \frac{\epsilon}{\hbar} G_i$

Translação: $G = \frac{p_x}{\hbar} \quad \epsilon = dx$

rotação temporal: $G = \frac{i}{\hbar} \quad \epsilon = dt$

\Rightarrow Definimos o op. de momento angular J_K tal que $G = \frac{i}{\hbar} J_K \quad \epsilon \rightarrow d\phi$,

(*) $D(R_K, \epsilon) = 1 - i \frac{J_K \epsilon}{\hbar}$ denume rotação infinitesimal em torno de x_K por ângulo $d\phi$.

• De forma mais geral: $D(\hat{n}, d\phi) = 1 - i \left(\frac{\hat{J} \cdot \hat{n}}{\hbar} \right) d\phi$ = op. de rotação infinit. $d\phi$ em torno de \hat{n} .

• A partir desse op. infinitesimal, encontramos o op. de rotações finitas:

$$D_z(\phi) = \lim_{N \rightarrow \infty} \left(1 - i \frac{J_z \frac{\phi}{N}}{\hbar} \right)^N = \exp \left(-i \frac{J_z \phi}{\hbar} \right) = 1 - \frac{i J_z \phi}{\hbar} - \frac{J_z^2 \phi^2}{2 \hbar^2} + \dots$$

- Matrizes de rotas R formam um grupo. Portanto que D(R) também logo deve ter as propriedades:

- Identidade: $R \cdot I = R$ $D(R) \cdot I = D(R)$

- Fechamento: $R_1 R_2 = R_3$ $D(R_1) D(R_2) = D(R_3)$

- Inverso: $R R^{-1} = I$ $D(R) D'(R) = I$
 $R' R = I$ $D'(R) D(R) = I$

- Associatividade: $R_1 (R_2 R_3) = (R_1 R_2) R_3 = R_1 R_2 R_3$

$D_1 (D_2 D_3) = (D_1 D_2) D_3 = D_1 D_2 D_3$

- Vamos agora analisar ação as relações de comutação pl JK:

Se que $R_x(s) R_y(s) - R_y(s) R_x(s) = R_z(s^2) - \frac{1}{s^2}$ de A rotas equivalentes pl Dis

$$\left(1 - \frac{iJ_x\varepsilon}{\hbar} - \frac{J_x^2\varepsilon^2}{2\hbar^2}\right) \left(1 - \frac{iJ_y\varepsilon}{\hbar} - \frac{J_y^2\varepsilon^2}{2\hbar^2}\right)$$

$$- \left(1 - \frac{iJ_y\varepsilon}{\hbar} - \frac{J_y^2\varepsilon^2}{2\hbar^2}\right) \left(1 - \frac{iJ_x\varepsilon}{\hbar} - \frac{J_x^2\varepsilon^2}{2\hbar^2}\right) = 1 - \frac{iJ_z\varepsilon^2}{\hbar} - 1$$

- Igualando os termos de orden ε^2 nos 2 lados da equação obtemos

$$[J_x, J_y] = i\hbar J_z$$

Repetindo o argumento pl outros eixos $[J_i, J_j] = i\hbar \epsilon_{ijk} J_k$

= relações de comutação fundamentais pl o momento angular.

- Só veremos que
 - ① J_K é o quadro de rotas em torno do eixo K.
 - ② Relações em torno de eixos diferentes não comutam.

ROTACÕES DE SPIN $\frac{1}{2}$

- Já encontramos os operadores que representam S_x , S_y e S_z de spin $\frac{1}{2}$:

$$S_x = \frac{\hbar}{2} (|+\rangle\langle +| - |-\rangle\langle -|)$$

Na base $\{|+\rangle, |-\rangle\}$ de S_z :

$$S_y = \frac{i\hbar}{2} (-|+\rangle\langle +| + |- \rangle\langle -|)$$

$$S_x = \frac{\hbar}{2} \begin{pmatrix} 0 & 1 \\ 1 & 0 \end{pmatrix} \quad S_y = \frac{i\hbar}{2} \begin{pmatrix} 0 & -i \\ i & 0 \end{pmatrix}$$

$$S_z = \frac{\hbar}{2} (|+\rangle\langle +| - |- \rangle\langle -|)$$

$$S_z = \frac{\hbar}{2} \begin{pmatrix} 1 & 0 \\ 0 & -1 \end{pmatrix}$$

- Vamos rodar $|+\rangle$ por âng. ϕ em torno do eixo z:



$$|\alpha\rangle_R = \underbrace{\exp\left(-i\frac{S_z\phi}{\hbar}\right)}_{D_\phi(\phi)} |\alpha\rangle$$

- Verificando o efeito sobre $\langle S_x \rangle$:

$$\langle S_x \rangle \rightarrow \langle \alpha | S_x | \alpha \rangle_R = \langle \alpha | \underbrace{D_z^+(\phi) S_x D_z^-(\phi)}_{\exp\left(i\frac{S_x\phi}{\hbar}\right)} | \alpha \rangle$$

$$\boxed{\exp\left(i\frac{S_x\phi}{\hbar}\right) S_x \exp\left(-i\frac{S_x\phi}{\hbar}\right)} \rightarrow \text{Vamos calcular}$$

de 2 formas.

$$\textcircled{1} \quad \frac{\hbar}{2} \exp\left(i\frac{S_x\phi}{\hbar}\right) (|+\rangle\langle +| + |- \rangle\langle -|) \exp\left(-i\frac{S_x\phi}{\hbar}\right)$$

$$\begin{aligned} \text{Note: } S_z|+\rangle &= \frac{\hbar}{2}|+\rangle \Rightarrow e^{i\frac{S_z\phi}{\hbar}}|+\rangle = \left(1 + i\frac{S_z\phi}{\hbar} + \frac{i^2 S_z^2 \phi^2}{\hbar^2} + \dots\right)|+\rangle \\ &= \left(1 + \frac{i\phi}{\hbar} \cdot \frac{\hbar}{2} + \frac{i^2 \phi^2}{\hbar^2} \cdot \frac{(\hbar)^2}{2} + \dots\right)|+\rangle \\ &= \left(1 + i\frac{\phi}{2} + \left(\frac{i\phi}{2}\right)^2 + \dots\right)|+\rangle = e^{i\frac{\phi}{2}}|+\rangle \end{aligned}$$

$$\text{Simultaneamente: } \langle -| e^{-i\frac{S_x\phi}{\hbar}} = \langle -| e^{i\frac{\phi}{2}}$$

$$\hookrightarrow = \frac{\hbar}{2} \left(e^{i\frac{\phi}{2}} |+\rangle\langle +| e^{-i\frac{\phi}{2}} + e^{-i\frac{\phi}{2}} |-\rangle\langle -| e^{i\frac{\phi}{2}} \right) =$$

$$\langle -| e^{i\frac{\phi}{2}} |+\rangle\langle +| e^{-i\frac{\phi}{2}} = \frac{1}{2} \left[(|+\rangle\langle +| + |-\rangle\langle -|) \cos\phi + i(|+\rangle\langle -| - |-\rangle\langle +|) \sin\phi \right]$$

$$= S_x \cos\phi - S_y \sin\phi$$

- II) Usu Ruten-Hamilton: (\hat{G} Hermitian, \hat{A} real)

$$\exp(i\hat{G}\tau) A \exp(-i\hat{G}\tau) = A + i\hat{G}[G, A] + \frac{i^2 \tau^2}{2!} [G, [G, A]] + \dots + \frac{i^n \tau^n}{n!} [G, [G, [G, \dots [G, A]]]]$$

$$\begin{aligned} e^{\frac{iS_x\phi}{\hbar}} S_x e^{-\frac{iS_y\phi}{\hbar}} &= S_x + \underbrace{\frac{i\phi}{\hbar} [S_y, S_x]}_{i\hbar S_y} + \underbrace{\frac{1}{2!} \left(\frac{i\phi}{\hbar}\right)^2 [S_y, [S_y, S_x]]}_{i\hbar^2 S_y} + \\ &\quad + \underbrace{\frac{1}{3!} \left(\frac{i\phi}{\hbar}\right)^3 [S_y, [S_y, [S_y, S_x]]]}_{i\hbar^3 S_y} + \dots \\ &= S_x \left[1 - \frac{\phi^2}{2!} + \dots \right] - S_y \left[\phi - \frac{\phi^3}{3!} + \dots \right] = \boxed{S_x \cos \phi - S_y \sin \phi} \end{aligned}$$

Note que o método II usa a representação explícita de S_x , não as regras de comutação, logo pode ser usado em rot. ~~com~~ com momentos angulares $> \frac{1}{2}$.

- Temos ent. $\langle S_x \rangle \rightarrow \langle \lambda | S_x | \lambda \rangle_R = \langle S_x \rangle_{\text{rot}} \phi - \langle S_y \rangle_{\text{rot}} \phi$

A forma similar: $\langle S_y \rangle \longrightarrow \langle S_y \rangle_{\text{rot}} \phi + \langle S_x \rangle_{\text{rot}} \phi$

$$\langle S_z \rangle \rightarrow \langle S_z \rangle \quad (\text{pós } [S_z, D_\tau(\phi)] = 0).$$

\Rightarrow os valores esperados são rotados de ϕ em termo de \vec{z} , como esperado.

- De maneira mais geral, sp. de momento angular (pl qq. 21) satisfazem:

$$\langle J_K \rangle \rightarrow \sum_x R_{Kx} \langle J_x \rangle$$

\nwarrow matriz de rotação

- Vamos agora examinar o efeito de rotacões em α sobre estados orbitais de spin $\frac{1}{2}$: $|1\alpha\rangle = |+\rangle \langle +|\alpha\rangle + |-\rangle \langle -|\alpha\rangle$

$$e^{-i\frac{S_3 t}{\hbar}} |\alpha\rangle = e^{-i\frac{\phi}{2}} |+\rangle \langle +|\alpha\rangle + e^{i\frac{\phi}{2}} |-\rangle \langle -|\alpha\rangle$$

- Se fizermos rotacões de 2π : $|\alpha\rangle \rightarrow -|\alpha\rangle$!

$$4\pi: |1\alpha\rangle \rightarrow |1\alpha\rangle \text{ de novo.}$$

Esses efeitos estranhos têm consequências observáveis.

Precessão de spin $\frac{1}{2}$ como rotação

- Campo $\vec{B} = B\hat{z}$. $H = -\frac{e}{mc} \vec{S} \cdot \vec{B} = \omega S_z$ com $\omega = \frac{1eV}{mc}$

- O operador de evolução temporal é: $U(t,0) = \exp(-iHt) = \exp\left(-i\frac{S_z \omega t}{\hbar}\right)$
ou seja, é igual ao op. de rotações em torno de \hat{z} ~~de ângulo~~ $\phi = \omega t$.

$$\Rightarrow \begin{cases} \langle S_x \rangle_t = \langle S_x \rangle_{t=0} \cos \omega t - \langle S_y \rangle_{t=0} \sin \omega t \\ \langle S_y \rangle_t = \langle S_y \rangle_{t=0} \cos \omega t + \langle S_x \rangle_{t=0} \sin \omega t \\ \langle S_z \rangle_t = \langle S_z \rangle_{t=0} \end{cases}$$

$$\left\{ \begin{array}{l} \text{Depois de } t = \frac{2\pi}{\omega}, \text{ o spin dará 1 volta} \\ t = \frac{4\pi}{\omega}, \text{ o spin volta ao estado inicial.} \end{array} \right.$$

- Experimentos que obtiveram esse efeito foram feitos (1975 - RANKIN et al.)
Werner et al.
 [Feixe de átomos é dividido, um sub-feixe permanece e outro não; a diferença de fase resulta em interferência quando feixes são recombinados.]

Autovetores e auto-estados de momento angular

- Tudo que sabemos se baseia nas relações de comutação de J_K :

$$[J_i, J_j] = i\hbar \epsilon_{ijk} J_k$$

- Com \vec{J} definido o op. de momento angular total ou operador J^2 :

$$\vec{J}^2 \equiv J_x^2 + J_y^2 + J_z^2$$

- Propriedade de J^2 : $\boxed{[J^2, J_k] = 0}$

Vamos olhar p/ $[J^2, J_z] = [J_x J_x + J_y J_y + J_z J_z, J_z]$

$$= J_x [J_x, J_z] + [J_x, J_z] J_x + J_y [J_y, J_z] + [J_y, J_z] J_y = 0$$

$-i\hbar J_y \quad -i\hbar J_y \quad i\hbar J_x \quad +i\hbar J_x$

e similamente p/ os outros componentes

- Como os componentes J_K não comutam entre si, precisamos escolher um deles p/ formar base juntos com $J^2 \Rightarrow$ por convenção, J_z .

Operadores de <math>\pm</math> Operadores-exato

$$J^2 |a, b\rangle = a |a, b\rangle$$

$$J_z |a, b\rangle = b |a, b\rangle$$

- Para acertar a, b, z convenientemente definir os operadores-exato

$$\boxed{J_{\pm} = J_x \pm i J_y}$$

E fácil mostrar que $\boxed{[J_+, J_-] = 2i J_z}$

$$\boxed{[J_z, J_{\pm}] = \pm i J_{\pm}}$$

$$\boxed{[J^2, J_{\pm}] = 0}$$

• Por que chamamos de operadores -encaada?

$$J_7(J_{\pm}|a,b\rangle) = ([J_7, J_{\pm}] + J_{\pm}J_7)|a,b\rangle = (b \pm h)(J_{\pm}|a,b\rangle)$$

$\Rightarrow J_{\pm}|a,b\rangle$ é auto-est. de J_7 com autovalor $b \pm h$.

$$J^2(J_{\pm}|a,b\rangle) = J_{\pm}J^2|a,b\rangle = a(J_{\pm}|a,b\rangle)$$

\Rightarrow ~~J₇~~ J_{\pm} não mudam a .

Autovalores de J_7 e J^2

- J_7 não é autovalor de J_2 ^(b) nem muda autovalor de J^2 (~~a~~). O processo não fode se repetido independentemente, pois $a > b^2$, como vamos provar.

$$\begin{aligned} \text{Note que } J^2 - J_7^2 &= J_x J_x + J_y J_y = \frac{1}{2}(J_+ J_- + J_- J_+) \\ &= \frac{1}{2}(J_+ J_+^\dagger + J_+^\dagger J_+) \end{aligned}$$

$$\underbrace{\langle ab|J^2 - J_7^2|ab\rangle}_{= a - b^2 \geq 0} \geq 0 \quad \Rightarrow \quad a \geq b^2$$

- Com a fixo, deve ter valor máximo p/ b ($= b_{\max}$) tal que

$$J_+|a, b_{\max}\rangle = 0$$

A rigor, isto deve ser provado;
veja Cohen-Tannoudji
Cap VI-2

$$\text{Também vale: } J_-|a, b_{\max}\rangle = 0$$

$$\begin{aligned} \text{Mas } J_- J_+ &= \underbrace{J_x^2 + J_y^2}_{= J^2} - i(J_y J_x - J_x J_y) \\ &= (J^2 - J_7^2) - h J_7 \end{aligned}$$

$$\Rightarrow (J^2 - J_7^2 - h J_7) \underbrace{|a, b_{\max}\rangle}_{\text{N.S. e ret mud.}} = 0 \quad \Rightarrow a - b_{\max}^2 - b_{\max}h = 0$$

$$\Rightarrow a = b_{\max}(b_{\max} + h)$$

- De forma similar, também deve haver b_{\min} tal que

$$\mathcal{J}_-|a, b_{\min}\rangle = 0$$

Exemplo $\mathcal{J}_+ \mathcal{J}_- = J^2 - J_z^2 + \hbar J_+$ e queremos que

$$\Rightarrow \left. \begin{array}{l} a = b_{\min}(b_{\min} - \hbar) \\ a = b_{\max}(b_{\max} + \hbar) \end{array} \right\} \Rightarrow b_{\max} = -b_{\min} \Rightarrow -b_{\max} \leq b \leq b_{\max}$$

- Como cada "degrau" é de \hbar , $b_{\max} = b_{\min} + m\hbar$ (para degrau interio ou)

$$\Rightarrow b_{\max} = \frac{m\hbar}{2}$$

- Definir $j \equiv \frac{b_{\max}}{\hbar} \Rightarrow j = \frac{m}{2}$

- Valor máx. ~~de~~ da autorota de J_z é $j\hbar$ (com j inteiro ou)
semi-inteiro

- Com $a = b_{\max}(b_{\max} + \hbar)$ $\Rightarrow a = \hbar^2 j(j+1)$

- Definir m tal que $b = m\hbar$. Se j é inteiro, todos os m tb são
inteiro, se não,

$$\Rightarrow m \in \underbrace{\{-j, -j+1, \dots, j-1, j\}}_{2j+1 \text{ valores}}$$

- As bases de maior $|a, b\rangle$, $|a, m\rangle$:

$$\left\{ \begin{array}{l} J^2 |jm\rangle = j(j+1)\hbar^2 |jm\rangle \\ J_z |jm\rangle = m\hbar |jm\rangle \end{array} \right.$$

com $\left\{ \begin{array}{l} j \text{ inteiro ou semi-inteiro} \\ m \in \{-j, -j+1, \dots, j-1, j\} \end{array} \right.$

Elementos de matriz

$$\begin{cases} J^2 | j_m \rangle = j(j+1) \hbar^2 | j_m \rangle \\ J_z | j_m \rangle = m \hbar | j_m \rangle \end{cases}$$

$J^2:$

$$K_{j,m} | J^2 | j_m \rangle = j(j+1) \hbar^2 S_{jj} S_{mm}$$

$J_z:$

$$K_{j,m} | J_z | j_m \rangle = m \hbar S_{jj} S_{mm}$$

$$J_{\pm}: \langle j_m | J_{\pm} J_{\pm} | j_m \rangle = \langle j_m | J^2 - J_z - \hbar J_z | j_m \rangle$$

$$= \hbar^2 (j(j+1) - m^2 - m)$$

Sei que $J_{\pm} | j_m \rangle = \underbrace{(c_{jm}^{\pm})}_{= \text{CTR}} | j, m \pm 1 \rangle$

Comparo:

$$\Rightarrow |c_{jm}^{\pm}|^2 = \hbar^2 [j(j+1) - m(m \pm 1)] = \hbar^2 (j-m)(j+m \pm 1)$$

CONVERGENCE: c_{jm}^{\pm} real, > 0 .

$$\Rightarrow |J_{\pm} | j_m \rangle = \sqrt{(j-m)(j+m \pm 1)} | \hbar | j, m \pm 1 \rangle$$

De forma similar:

$$|J_{-} | j_m \rangle = \sqrt{(j+m)(j-m+1)} | \hbar | j, m-1 \rangle$$

$$\Rightarrow \langle j_m | J_{\pm} | j_m \rangle = \sqrt{(j \mp m)(j \pm m+1)} | \hbar | S_{jj} S_{m, m \pm 1}$$

Representação de op. de rotas

- Vemos que $D_n(\phi) = \exp\left(-i \frac{\vec{J} \cdot \hat{n}}{\hbar} \phi\right)$ é o operador de rotação de ϕ em torno do eixo \hat{n} . \vec{J} é o op. de momento angular, e tanto \vec{J} como $D_n(\phi)$ são definidos para qualquer espaço de Hilbert H .
- Nossa tarefa agora é encontrar a representação matricial explícita para \vec{J} e $D_n(\phi)$, usando uma base conveniente para H .
- Base conveniente: $\{|j,m\rangle\}$

~~Definição~~ • Elementos da matriz:

$$D_{nm}^{(j)}(R) = \langle j'm' | \exp\left(-i \frac{\vec{J} \cdot \hat{n}\phi}{\hbar}\right) | jm \rangle$$

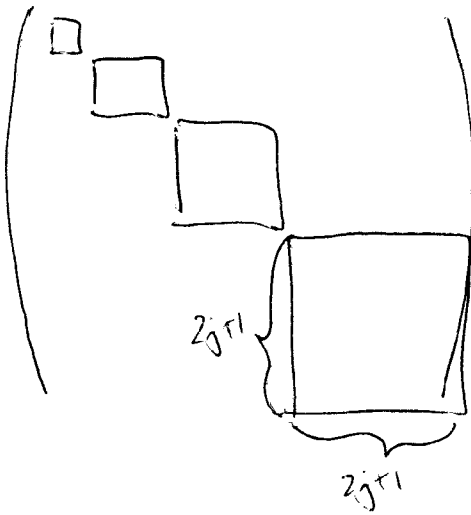
- Repare que os elementos entre $\langle j'm' |$ e $| jm \rangle$ são iguais a zero se $j' \neq j$.

Isso acontece pois $\underbrace{J^2(D(R)|jm\rangle)}_{= j(j+1)\hbar^2(D(R)|jm\rangle)} = D(R) J^2 |jm\rangle$ ($j(j+1)\hbar^2$ constante) $\xrightarrow{J^2}$

\Rightarrow Rotação não muda autovalores de J^2 .

- Podemos trabalhar com H contendo de 2 (ou mais) subespacos, e ~~uma~~ dinâmica capaz de mudar j de cada subespaco. Nesse caso, usando uma base arbitrária temos uma representação p/ $D(R)$ bem mais complicada. A situação é simplificada se escolhemos ~~uma base arbitrária~~ a base $|jm\rangle$ ~~de sistema composto~~.

Nesse caso uma rotação geral será escrita como uma matriz diagonal por blocos:



No literatura, cada bloco $(2j+1) \times (2j+1)$ é chamado de representante unitário
 ds op. de rotas $D(R)$.

IRREDUTÍVEL: cada bloco não pode ser
 reunido como subblocos menores com ~~outro~~^{outro} volta
 de lado.

~~Matrizes de rotas~~

- As matrizes de rotas ~~matrizes~~ (com $j \neq 0$) formam um grupo.

- Identidade = \mathbb{I} (não rotar)

- Inverso = inverte $\phi \Rightarrow -\phi$ (com mesmo eixo \hat{n})

- Fechado (composição de rotas)

- A matriz $D(R)$ é unitária: $D_{mm}(R^{-1}) = D_{mm}^*(R)$.

$$\text{Vejá: } \langle j_m | \exp\left(-\frac{i\hat{\vec{J}} \cdot \hat{\vec{n}} d}{\hbar}\right) | j_m \rangle \xrightarrow{\phi \rightarrow -\phi} \langle j_m | \exp\left(+\frac{i\hat{\vec{J}} \cdot \hat{\vec{n}} d}{\hbar}\right) | j_m \rangle = D_{mm}(R^{-1}) \\ = \langle j_m | \exp\left(-\frac{i\hat{\vec{J}} \cdot \hat{\vec{n}} d}{\hbar} \phi\right) | j_m \rangle^* = D_{mm}^*(R)$$

- A matriz de rotas nos ajuda a resolver problemas físicos. Imaginei começado com estado $|j_m\rangle$, e agora rota-lá:

$|j_m\rangle \rightarrow D(R)|j_m\rangle$ ← vimos que j não muda, mas os valores de m podem mudar. Como calcular as amplitudes de probabilidade dos resultados possíveis?

- Expanda o resultado na base $\{|ijm\rangle\}$:

$$\underset{\substack{\uparrow \\ \text{II}}}{D(R)} |ijm\rangle = \sum_m |ijm' \times j'm| \underset{\substack{\uparrow \\ \text{I}}}{D(R)} |ijm\rangle = \sum_{m'} |ijm'\rangle D_{mm'}^{(i)}(R)$$

\Rightarrow o elemento de matriz $D_{mm'}^{(i)}(R)$ é a amplitude de probabilidade de medirmos $|ijm'\rangle$ depois de rotarmos (partindo de $|ijm\rangle$).

Calculando $D(R)$ gerais

- Da mecânica clássica, sabemos que qualquer rotação pode ser decomposta em seq. de 3 rotações (pelos círculos de Euler):

$$R(\alpha, \beta, \gamma) = R_z(\alpha) R_y(\beta) R_z(\gamma)$$

- Então a matriz de rotações mais geral será:

$$\begin{aligned} D_{mm'}^{(i)}(\alpha, \beta, \gamma) &= \langle j'm' | \exp\left(-i \frac{\vec{J}_z \alpha}{\hbar}\right) \exp\left(-i \frac{\vec{J}_y \beta}{\hbar}\right) \exp\left(-i \frac{\vec{J}_z \gamma}{\hbar}\right) | j'm \rangle \\ &= e^{\underbrace{-i(m'+m)\gamma}_{-\vec{J}_z \cdot \vec{n} \gamma}} \underbrace{\langle j'm' | \exp\left(-i \frac{\vec{J}_y \beta}{\hbar}\right) | j'm \rangle}_{\text{única parte que "mixta" } m's \text{ diferentes.}} \\ &\equiv D_{mm'}^{(i)}(\beta) \end{aligned}$$

• SPIN $\frac{1}{2}$: $\exp\left(-i \frac{\vec{\sigma} \cdot \hat{n} \beta}{2}\right) = \left[1 - \frac{(\vec{\sigma} \cdot \hat{n})^2}{2!} \left(\frac{\beta}{2}\right)^2 + \frac{(\vec{\sigma} \cdot \hat{n})^4}{4!} \left(\frac{\beta}{2}\right)^4 - \dots \right]$

$\vec{\sigma}_y = \frac{1}{2} \sigma_y$

$$\begin{aligned} &- i \left[(\vec{\sigma} \cdot \hat{n}) \left(\frac{\beta}{2}\right) - \frac{(\vec{\sigma} \cdot \hat{n})^3}{3!} \left(\frac{\beta}{2}\right)^3 + \dots \right] \quad \text{Mas } \left(\frac{\vec{\sigma} \cdot \hat{n}}{2}\right)^n = \begin{cases} 1 & \text{se par} \\ 0 & \text{se ímpar} \end{cases} \\ &= 1 \cos\left(\frac{\beta}{2}\right) - i \vec{\sigma} \cdot \hat{n} \sin\left(\frac{\beta}{2}\right) \end{aligned}$$

$$\Rightarrow \exp\left(-i \frac{\vec{\sigma}_y \beta}{2}\right) = \begin{pmatrix} \cos\left(\frac{\beta}{2}\right) & -\sin\left(\frac{\beta}{2}\right) \\ \sin\left(\frac{\beta}{2}\right) & \cos\left(\frac{\beta}{2}\right) \end{pmatrix} \quad \left[\text{pois } \vec{\sigma}_y = \begin{pmatrix} 0 & -i \\ i & 0 \end{pmatrix} \right]$$

• $j=1$

- A primeira coisa de que precisamos é a representação 3×3 de J_y .

$$J_{\pm} = J_x + i J_y \Rightarrow J_y = \frac{(J_+ - J_-)}{2i}$$

- Conhecemos os elementos da matriz de J_{\pm} :

$$\langle j' m' | J_{\pm} | j m \rangle = \sqrt{(j \mp m)(j \pm m + 1)} \text{ tr } S_{jj'} S_{m'm \pm 1}$$

\Rightarrow conhecemos os elementos da matriz de J_y :

$$J_y^{(j=1)} = \left(\frac{\hbar}{2}\right) \begin{pmatrix} 0 & -\sqrt{2}i & 0 \\ \sqrt{2}i & 0 & -\sqrt{2}i \\ 0 & \sqrt{2}i & 0 \end{pmatrix} \begin{matrix} m=1 \\ m=0 \\ m=-1 \end{matrix}$$

- Agora precisamos da expansão em série de $\exp(-i \frac{J_y \beta}{\hbar})$.

- $(J_y^{(j=1)})^2 \neq 1$, cuidado! Mas é fácil de verificar que

$$\left(\frac{J_y^{(j=1)}}{\hbar}\right)^3 = \frac{J_y^{(j=1)}}{\hbar}$$

- Usando isso, podemos mostrar que $\exp(-i \frac{J_y \beta}{\hbar}) = 1 - \left(\frac{J_y}{\hbar}\right)^2 (1 - \cos \beta)$

$$\left[\begin{array}{l} \text{Note} \\ \text{válida} \end{array} \right] \quad \left[\begin{array}{l} \text{se} \\ \text{j}=1 \end{array} \right] \quad -i \left(\frac{J_y}{\hbar} \right) \sin \beta$$

- Explicitamente:

$$d^{(1)}(\beta) = \begin{pmatrix} \frac{(1+\cos \beta)}{2} & -\frac{1}{\sqrt{2}} \sin \beta & \frac{1-\cos \beta}{2} \\ \frac{\sin \beta}{\sqrt{2}} & \cos \beta & -\frac{1}{\sqrt{2}} \sin \beta \\ \frac{1-\cos \beta}{2} & \frac{\sin \beta}{\sqrt{2}} & \frac{(1+\cos \beta)}{2} \end{pmatrix}$$

Momento angular orbital

[SAK 3.6]

- Se não temos spin, uma partícula ~~ainda~~ ainda pode ter momento angular orbital

$$\vec{L} = \vec{r} \times \vec{p}$$

- Primeiramente, vamos verificar que \vec{L} acima satisfaça as ~~definições~~ relações ~~de~~ de comutação fundamentais do momento angular:

$$\begin{aligned} [L_x, L_y] &= [y p_z - z p_y, z p_x - x p_z] = [y p_z, z p_x] + [z p_y, x p_z] \\ &= y p_x [p_z, z] + p_z \times [z, p_x] \\ &= i\hbar (x p_y - y p_x) = i\hbar L_z \end{aligned}$$

- de forma similar a os outros comutantes, mostramos que

$$[L_i, L_j] = i \epsilon_{ijk} \hbar L_k //$$

- Agora vamos ver se $1 - i\left(\frac{\partial}{\partial t}\right)L_z = 1 - i\left(\frac{\partial}{\partial t}\right)(x p_y - y p_x)$

corresponde a uma rotação infinitesimal em torno do eixo Z :

$$\begin{aligned} \left[1 - i\left(\frac{\partial}{\partial t}\right)L_z\right] |x', y', z'\rangle &= \left[1 - i\left(\frac{p_y}{\hbar}\right)(\delta t x) + i\left(\frac{p_x}{\hbar}\right)(\delta t y)\right] |x', y', z'\rangle \\ &\quad \swarrow \text{mostramos que } p_j \text{ é gerador de translação} \\ &= |x - y\delta\phi, y + x\delta\phi, z\rangle \text{ é o que esperamos de rotação infinitesimal de } \vec{z}'? \end{aligned}$$

$$\left(\begin{pmatrix} 1 & -\frac{p_y}{\hbar} \\ 0 & 1 \end{pmatrix} \right) \begin{pmatrix} x \\ y \end{pmatrix} = \begin{pmatrix} x - \frac{p_y}{\hbar} y \\ \frac{p_x}{\hbar} x + y \end{pmatrix} \quad \leftarrow \underline{\text{SIM}}.$$

\Rightarrow como \vec{p} gera translações, \vec{L} gera rotações.

- Considera função de onda de partícula com spin: $\langle \vec{x}, \vec{y}, \vec{z} | \alpha \rangle$. Após rotações infinitesimal em torno de \hat{z} , temos:

$$\begin{aligned} \langle \vec{x}, \vec{y}, \vec{z} | \alpha \rangle &\rightarrow \langle \vec{x}, \vec{y}, \vec{z}' | \left[1 - i \left(\frac{\hbar}{\hbar} \right) L_z \right] \alpha \rangle \\ &= \langle \vec{x} + \vec{y} \sin \phi, \vec{y} - \vec{x} \sin \phi, \vec{z}' | \alpha \rangle \quad \text{(I)} \end{aligned} \quad \begin{array}{l} \text{Respeita diferença no} \\ \text{nível para estarmos} \\ \text{aplicando rotação no bra.} \end{array}$$

- A mesma rotação fica mais transparente em coord. esféricas:

$$\begin{aligned} \langle n, \theta, \phi | \alpha \rangle &\rightarrow \langle n, \theta, \phi | \left[1 - i \left(\frac{\hbar}{\hbar} \right) L_z \right] \alpha \rangle \quad \text{(II)} \\ &= \langle n, \theta, \phi - \delta\phi | \alpha \rangle \quad \begin{array}{l} \text{vendo (I) acima, coord. mudam com rotação} \\ \text{de } -\delta\phi. \end{array} \\ &= \langle n, \theta, \phi | \alpha \rangle - \frac{\delta\phi}{2\pi} \frac{\partial}{\partial \phi} \langle n, \theta, \phi | \alpha \rangle \quad \text{(III)} \end{aligned}$$

- Somando II e III acima: $\boxed{\langle \vec{x} | L_z | \alpha \rangle = -i\hbar \frac{\partial}{\partial \phi} \langle \vec{x} | \alpha \rangle}$

- Vamos considerar rotações de $S\hat{d}_x$ em torno do eixo \hat{x} :

$$\langle \vec{x}, \vec{y}, \vec{z} | \left[1 - i \left(\frac{\hbar}{\hbar} \right) L_x \right] \alpha \rangle = \langle \vec{x}, \vec{y} + \vec{z} \sin \phi, \vec{z} - \vec{y} \sin \phi | \alpha \rangle$$

Escrevendo $\vec{x}, \vec{y}, \vec{z}$ em coord. esféricas, pode-se mostrar que

$$\boxed{\langle \vec{x} | L_x | \alpha \rangle = -i\hbar \left(-\sin \frac{\partial}{\partial \theta} - \cot \theta \sin \frac{\partial}{\partial \phi} \right) \langle \vec{x} | \alpha \rangle}$$

$$\boxed{\langle \vec{x} | L_y | \alpha \rangle = -i\hbar \left(\cos \frac{\partial}{\partial \theta} - \cot \theta \cos \frac{\partial}{\partial \phi} \right) \langle \vec{x} | \alpha \rangle}$$

e como $J_{\pm} = J_x \pm iJ_y$: $\Rightarrow \boxed{\langle \vec{x} | L_{\pm} | \alpha \rangle = -i\hbar e^{\pm i\phi} \left(\pm i \frac{\partial}{\partial \theta} - \cot \theta \frac{\partial}{\partial \phi} \right) \langle \vec{x} | \alpha \rangle}$

- Também temos que $L^2 = L_z^2 + \frac{1}{2} (L_+ L_- + L_- L_+)$

$$\Rightarrow \boxed{\langle \vec{x} | L^2 | \alpha \rangle = -\hbar^2 \left[\frac{1}{2m\Theta} \frac{\partial^2}{\partial \theta^2} + \frac{1}{r^2 \sin \theta} \left(\cot \theta \frac{\partial}{\partial \phi} \right)^2 \right] \langle \vec{x} | \alpha \rangle}$$

[↑] Parece parte angular da ∇^2 em coord. esféricas. Por quê?
Veja "Sakurai", p. 197/198.

Harmônicos esféricos

- Considera partícula com spin em potencial esfericamente simétrico. A eq. de onda é separável em coord. esféricas, e as autofunções de energia podem ser escritas:

$$\langle \vec{x} | n, l, m \rangle = R_n(r) Y_l^m(\theta, \phi), \quad \text{onde } n \text{ são os níveis quantitativos diferentes de } L^2 \text{ e } m(L_z).$$

- A simetria esférica garante que
- $$[H, L^2] = [H, L_z] = 0 \Rightarrow \text{auto-est. de energia só também auto-estados de } L^2 \text{ e } L_z.$$
- A parte angular da função de onda é comum a todos os problemas com simetria esférica, por isso vamos estudiá-la:

$$\langle \hat{n} | l, m \rangle = Y_l^m(\theta, \phi) = Y_l^m(\hat{n}) \quad \text{onde } \hat{n} \text{ é o vetor unitário na direção especificada por } \theta, \phi.$$

- $Y_l^m(\theta, \phi)$ é a amplitude associada à probabilidade de encontrarmos a partícula na direção θ, ϕ — ela será modulada pela função radial $R_n(r)$, que depende do problema $[V(r)]$.

- Relações envolvendo auto-estados de $\{L^2, L_z\}$ podem ser escritas como relações envolvendo os harmônicos esféricos. Por exemplo:

$$L_z | l m \rangle = m \hbar | l m \rangle \quad [\text{o } \langle \hat{n} | \text{ é usado } \langle \vec{x} | L_z | \vec{x} \rangle = -i \hbar \frac{\partial}{\partial \phi} \langle \vec{x} | \vec{x} \rangle]$$

$$\Rightarrow \langle \hat{n} | L_z | l m \rangle = m \hbar \underbrace{\langle \hat{n} | l m \rangle}_{Y_l^m(\theta, \phi)} \Rightarrow -i \hbar \frac{\partial}{\partial \phi} \underbrace{\langle \hat{n} | l m \rangle}_{Y_l^m(\theta, \phi)} = m \hbar \underbrace{\langle \hat{n} | l m \rangle}_{Y_l^m(\theta, \phi)}$$

$$\Rightarrow \text{a dependência com } \phi \text{ de } Y_l^m(\theta, \phi) \sim \sin \phi.$$

- Outra eq. satisfeita pelos $Y_l^m(\theta, \phi)$:

$$\langle \hat{n} | L^2 | l, m \rangle = \langle \hat{n} | l(l+1) \hat{n}^2 | l, m \rangle \Rightarrow \left[\frac{1}{\sin \theta} \frac{\partial}{\partial \theta} \left(\sin \theta \frac{\partial}{\partial \theta} \right) + \frac{1}{\sin^2 \theta} \frac{\partial^2}{\partial \phi^2} + l(l+1) \right] Y_l^m = 0$$

que é a eq. diferencial satisfeita pelos $Y_l^m(\theta, \phi)$.

- A ortogonalidade dos auto-estados $\langle l'm' | l, m \rangle = \delta_{l'l} \delta_{m'm}$ nos

dá: $\int_0^{2\pi} d\phi \int_{-1}^1 d(\cos \phi) [Y_l^m(\theta, \phi)]^* Y_{l'}^m(\theta, \phi) = \delta_{l'l} \delta_{m'm}$ II

- Uma forma de obter Y_l^m é começar com $m=l$: $\langle \hat{n} | L + l, l \rangle = 0$

$$\Rightarrow -i\hbar e^{i\phi} \left[i \frac{\partial}{\partial \theta} - \cot \theta \frac{\partial}{\partial \phi} \right] \langle \hat{n} | l, l \rangle = 0$$

Quando a dependência com ϕ é $e^{il\phi}$, é fácil ver que a eq. é satisfeita por

$$\langle \hat{n} | l, l \rangle = Y_l^l(\theta, \phi) = C_l e^{il\phi} (\sin \theta)^l \text{ com}$$

$$C_l = \left[\frac{(-1)^l}{2^l l!} \right] \sqrt{\frac{(2l+1)(2l)!}{4\pi}} \quad \leftarrow \text{determinada pela normalização (I) acima.}$$

- Partindo de Y_l^l podemos encontrar Y_l^{-m} aplicando o op. $L - l$ a Y_l^l , e assim sucessivamente. A dedução é feita em II e III em livros-texto elementares. O resultado p/ $m > 0$ é:

$$Y_l^{-m}(\theta, \phi) = \frac{(-1)^l}{2^l l!} \sqrt{\frac{(2l+1)(l+m)!}{4\pi(l-m)!}} e^{im\phi} \frac{1}{\sin^m \theta} \frac{d^{l-m}}{d(\cos \theta)^{l-m}} (\sin \theta)^{2l}$$

$$2 \quad Y_l^{-m}(\theta, \phi) = (-1)^m [Y_l^m(\theta, \phi)]^*$$

- A dependência com θ de $Y_l^m(\theta, \phi)$ é $(\sin \theta)^{|m|} \cdot \begin{cases} \text{polinômio de grau } l-|m| & \text{se } m < 0 \\ 1 & \text{se } m = 0 \end{cases}$

$$3 \quad \text{Para } m=0 \Rightarrow Y_l^0(\theta, \phi) = \sqrt{\frac{2l+1}{4\pi}} P_l(\cos \theta) \rightarrow \text{polinômios de Legendre.}$$

- Por qué el no pose un semi-interior?

- A finales de octubre ~~agosto~~ habrá una fase de -1 después de rotar de 2π :

$$e^{im(2\pi)} = -1 \leftarrow \text{¿qué sería la fc. const., } f(x) \text{ o } -f(x)?$$

\Rightarrow 2 valores \Rightarrow causa problemas.

- Otra razón: puede ocurrir que en el eje diferencial $f(Y_l^m(\theta, \phi))$ tiene un conj. completo de soluciones en el interior \Rightarrow los valores semi-internos no desempeñan.

Harmonicos esféricos como matrices de rotación

- Queremos adquirir $D(R)$ tal que $|{\hat{n}}\rangle = D(R)|{\hat{z}}\rangle$

- Rota vector $|{\hat{z}}\rangle$ en torno al eje y por áng. θ (1)
y en torno al eje x por áng. ϕ (2)

$$\Rightarrow D(R) = R_z(\phi) R_y(\theta)$$

- Escribo $|{\hat{n}}\rangle = D(R)|{\hat{z}}\rangle = \sum_{l,m} D(R)|l,m\rangle |{\hat{z}}\rangle$ [• (l,m)]

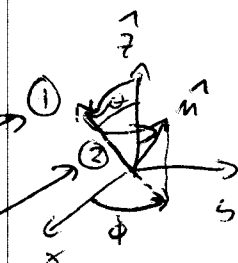
$$\Rightarrow \langle l,m|{\hat{n}}\rangle = \sum_m D_{lm}^{(2)} (\alpha=\phi, \beta=\theta) \langle l,m|{\hat{z}}\rangle$$

$$\langle l,m|{\hat{z}}\rangle = Y_l^m(\theta=0, \phi) \quad \text{Sino [propiedad de } Y_l^m; Y_l^m(\theta=0)=0 \text{ si } m \neq 0]$$

$$= \sqrt{\frac{(2l+1)}{4\pi}} P_l(\cos\phi) \Big|_{\sin\phi=1}$$

$$= \sqrt{\frac{(2l+1)}{4\pi}} g_{lm}$$

anotati...



$$Y_e^m(\theta, \phi) = \sqrt{\frac{(2\ell+1)}{4\pi}} D_{m=0}^{(\ell)}(\alpha=\beta=0)$$

$$\Leftrightarrow D_{m=0}^{(\ell)}(\alpha, \beta, \gamma=0) = \sqrt{\frac{4\pi}{(2\ell+1)}} |Y_e^m(\theta, \phi)| \Big|_{\theta=\beta, \phi=\gamma}$$

- As matrizes de rotações são relacionadas aos harmônicos esféricos arm.

Adiç de momento angular

- Na física clássica, se quisermos somar 2 grandezas com dimensão de momento angular, basta fazer a soma vetorial.
- Na MQ temos que aprender a construir os novos operadores \vec{J} do sistema composto, e aprender ^{sobre} a relação entre as propriedades do sist. composto e de cada sub-sistema. Para isso, será muito útil o conceito de mudança de base, que estudaremos no início do curso.

2 Exemplos simples

A - Partícula de spin $\frac{1}{2}$ e posição/momento

- Base: produto tensorial de ket em \mathbb{H} de dimensão infinita $\{| \vec{x} \rangle\}$
com ket em \mathbb{H} de 2 dimensões $\{| +\rangle, | -\rangle\}$.

$$\Rightarrow | \vec{x}, \pm \rangle = | \vec{x} \rangle \otimes | \pm \rangle$$

- Qualquer operador que age só em $\{| \vec{x} \rangle\}$ commute com operadores de spin $\{ | \pm \rangle\}$.

• Rotações: $\exp(-i \frac{\vec{J} \cdot \vec{n} \phi}{\hbar})$ com $\vec{J} = \vec{L} + \vec{S}$

$$= \vec{L} \otimes \mathbb{I} + \mathbb{I} \otimes \vec{S}$$

com $[\vec{L}, \vec{S}] = 0 \Rightarrow D(R) = \exp(-i \frac{\vec{L} \cdot \vec{n} \phi}{\hbar}) \otimes \exp(-i \frac{\vec{S} \cdot \vec{n} \phi}{\hbar})$

- A função de onda tem 2 componentes:

$$\langle \vec{x}, \pm | \psi \rangle = \psi_{\pm}(\vec{x}) , \text{ molas vers organizadas em vetor-coluna.}$$

$$|\psi_{\pm}(\vec{x})|^2 \text{ é a probabilidade da partícula ser medida em } \vec{x} \text{ com spin } \pm.$$

$$\begin{pmatrix} \psi_+(\vec{x}) \\ \psi_-(\vec{x}) \end{pmatrix}.$$

- Ao invés da base $\{|1\pm\rangle, |1\mp\rangle\}$, podemos expandir na base $\{|m_1 m_2\rangle, |1\pm\rangle\}$. Vemos que outra alternativa será a base dos operadores $\vec{J}^2, \vec{L}_z, S_z, S^2$ momento angular total.

B - 2 partículas de spin $\frac{1}{2}$, sem levar em conta paridade.

$$\vec{S} = \vec{S}_1 \otimes \mathbb{1} + \mathbb{1} \otimes \vec{S}_2 = \vec{S}_1 + \vec{S}_2$$

- Op. de spins diferentes comutam: $[\vec{S}_{1i}, \vec{S}_{2j}] = 0$

- Op. do mesmo spin têm as relações de comutação que já estudamos:

$$[S_{ix}, S_{iy}] = i\hbar S_{iz} \text{ etc. } \text{Com consequência,}$$

$$[S_x, S_y] = i\hbar S_z \quad \text{onde os op. são do spin total.}$$

- Vamos conversão ~~entre~~ ^{OPERADOR} os números quanticos dos diversos operadores:

$$S^2 = (\vec{S}_1 + \vec{S}_2)^2 \leftrightarrow \frac{\text{AUTOVALOR}}{S(S+1)\hbar^2}$$

$$S_z = S_{1z} + S_{2z} \leftrightarrow m_z \hbar$$

$$S_{1z} \leftrightarrow m_1 z \hbar$$

$$S_{2z} \rightarrow m_2 z \hbar$$

- De modo, temos 2 escolhas de base:

- ① Representar $\{m_1, m_2\}$ em termos de auto-estados de S_{1z} & S_{2z} :

$$\{|++\rangle, |+-\rangle, |-+\rangle, |--\rangle\} \quad (+-) = |m_1 = +\frac{1}{2}, m_2 = -\frac{1}{2}\rangle \quad \text{etc.}$$

2) Representação $\{S, m\}$ baseada nos autovetores de $S^2 \times S_z$:

$$\left\{ \underbrace{|S=1, m=\pm 1, 0\rangle}_{\text{TRÍPLICO DE ESTADOS}}, \underbrace{|S=0, m=0\rangle}_{\text{ESTADO SINGLET}} \right\}$$

Em cada base temos 4 vetores \Rightarrow a dimensão do espaço de Hilbert.

A relação entre as bases é:

$$|S=1, m=1\rangle = |++\rangle \quad (a)$$

$$|S=1, m=0\rangle = \frac{1}{\sqrt{2}}(|+-\rangle + |-+\rangle) \quad (b)$$

$$|S=1, m=-1\rangle = |--\rangle \quad (c)$$

$$|S=0, m=0\rangle = \frac{1}{\sqrt{2}}(|+-\rangle - |-+\rangle) \quad (d)$$

Obtemos (b) de (c) usando a op. escala $S_- \equiv S_{1,-} + S_{2,-}$

$$= (S_{1x} - iS_{1y}) + (S_{2x} - iS_{2y})$$

- lembre que $S_{1,-}$ não afeta o 1º termo de $|++\rangle$, etc.

$$S_- |S=1, m=1\rangle = (S_{1,-} + S_{2,-}) |++\rangle$$

$$\sqrt{(1+1)(1-1+1)} |S=1, m=0\rangle = \sqrt{\left(\frac{1}{2} + \frac{1}{2}\right)\left(\frac{1}{2} - \frac{1}{2} + 1\right)} |+-\rangle + \sqrt{\left(\frac{1}{2} + \frac{1}{2}\right)\left(\frac{1}{2} - \frac{1}{2} + 1\right)} |-+\rangle$$

$\Rightarrow (b)$.

(c) é obtido de (b) de forma similar, e (d) é obtido da relação de ~~analogia~~ com os outros 3.

generalidade

Os coeficientes aquei são conhecidos como coeficientes de Clebsch-Gordan - AG ou elementos da matriz de transformação entre as bases $\{m_1, m_2\}$ e $\{S, m\}$.

Técnica formal da adição de momentos angulares

- Considera 2 op. de momento angular em sub-sistemas diferentes) \vec{J}_1 e \vec{J}_2 :

$$[\vec{J}_{1i}, \vec{J}_{2j}] = i\hbar \epsilon_{ijk} J_K, \quad [\vec{J}_{2i}, \vec{J}_{2j}] = i\hbar \epsilon_{ijl} J_{2K}.$$

- Ops. de int. diferentes comutam:

$$[\vec{J}_{1K}, \vec{J}_{2L}] = 0$$

- O op. de rotação infinitesimal nos 2 sist. é:

$$\left(1 - i \frac{\vec{J}_1 \cdot \hat{n} \delta\theta}{\hbar}\right) \otimes \left(1 - i \frac{\vec{J}_2 \cdot \hat{n} \delta\theta}{\hbar}\right) = 1 - i \frac{(\vec{J}_1 \otimes \mathbb{1} + \mathbb{1} \otimes \vec{J}_2) \cdot \hat{n} \delta\theta}{\hbar} \quad \text{(I)} \\ \left[+ O(\delta\theta)^2 \right]$$

- Definimos o momento angular total $\vec{J} \equiv \vec{J}_1 \otimes \mathbb{1} + \mathbb{1} \otimes \vec{J}_2$

$$= \vec{J}_1 + \vec{J}_2$$

- A versão finita da rotação acima é:

$$\boxed{D_1(R) \otimes D_2(R) = \exp\left(-i \frac{\vec{J}_1 \cdot \hat{n}}{\hbar} \theta\right) \otimes \exp\left(-i \frac{\vec{J}_2 \cdot \hat{n}}{\hbar} \theta\right)} \quad \text{(II)}$$

- Repare de (I) acima que \vec{J} é o gerador do rotacionar no sist. total \Rightarrow deve ser momento angular. De fato, é fácil verificar que

$$[\vec{J}_i, \vec{J}_j] = i\hbar \epsilon_{ijk} J_K$$

- Podemos decompor este sistema composto ^{exatamente} em 2 lados diferentes:

OPÇÃO A: $\left\{ \left| \begin{smallmatrix} j_1 & j_2 \\ m_1 & m_2 \end{smallmatrix} \right\rangle \right\}$ ← todos contam.
 $\left\{ \left| \begin{smallmatrix} j_1^2 & j_2^2 \\ j_1 & j_2 \\ m_1 & m_2 \end{smallmatrix} \right\rangle \right\}$ ← "base local"

As equações de autovalores/vetores são:

$$J_1^2 |j_1 j_2; m_1 m_2\rangle = j_1(j_1+1) \hbar^2 |j_1 j_2; m_1 m_2\rangle$$

$$J_{1z} |j_1 j_2; m_1 m_2\rangle = m_1 \hbar |j_1 j_2; m_1 m_2\rangle$$

$$J_2^2 |j_1 j_2; m_1 m_2\rangle = j_2(j_2+1) \hbar^2 |j_1 j_2; m_1 m_2\rangle$$

$$J_{2z} |j_1 j_2; m_1 m_2\rangle = m_2 \hbar |j_1 j_2; m_1 m_2\rangle$$

OPÇÃO B: $\left\{ \left| \begin{smallmatrix} j_1 & j_2 \\ j & m \end{smallmatrix} \right\rangle \right\}$, frequentemente escrito $\left\{ \left| j m \right\rangle \right\}$

"base global" (se j_1 e j_2 se cancelam e fixos)

• $[J^2, J_{1z}] \neq 0$, $[J^2, J_{2z}] \neq 0 \Rightarrow$ não dá para adicionar J^2 ao conjunto de op. que definem a opção A.

NEM para adicionar J_{1z} ou J_{2z} ao conjunto da opção B.

• Vamos considerar o unitário que leva a base A na base B:

$$\langle 1 | j_1 j_2; jm \rangle = \underbrace{\sum_{m_1} \sum_{m_2} \langle j_1 j_2; m_1 m_2 | j_1 j_2; jm \rangle}_{\text{if } m \text{ estando com } j_1, j_2 \text{ fixos.}}$$

~~Elemento~~ $\in \mathbb{C}^{(S_1 \otimes S_2) \times (S_1 \otimes S_2)}$

$$= \underbrace{\sum_{m_1} \sum_{m_2} \langle j_1 j_2; m_1 m_2 | j_1 j_2; jm \rangle}_{\text{elementos da matriz}} |j_1 j_2; m_1 m_2\rangle$$

unitária de mudança de base

= COEFICIENTES de CLEBSCH-GORDAN

Propriedades dos coef. do CG:

(I) $m = m_1 + m_2$

Note que $(J_z - J_{j_1} - J_{j_2}) | j_1, j_2, j_m \rangle = 0 \quad [\circ \langle j_1, j_2, j_m | m_1, m_2]$

$$\Rightarrow (m - m_1 - m_2) \langle j_1, j_2, m_1, m_2 | j_1, j_2, j_m \rangle = 0 \quad \text{cqd.}$$

(II) Os coeficientes só são $\neq 0$ quando $|j_1 - j_2| \leq j \leq j_1 + j_2$

A prova está no Apêndice B da SAKURAI. Vejamos que a contagem é constante:

- Na base A (local), m_1 tem $2j_1+1$ valores e

$$m_2$$
 tem $2j_2+1$ valores $\Rightarrow \dim(H) = (2j_1+1)(2j_2+1)$

- Na base B (global), assume que \otimes acima vale. Então (considerando $j_1 \geq j_2$)

$$\dim(H) = \sum_{j=j_2}^{j_1+j_2} (2j+1) = (2j_1+1)(2j_2+1)$$

\Rightarrow temos o mesmo número de vetores em cada base, o que é necessário.

(III) Os coeficientes podem ser escritos, por conveniência, como

[produtos de complementos B_X da Cohen-Tannoudji]

• Consequência: $\langle j_1, j_2; j_m | j_1, j_2; m_1, m_2 \rangle = \langle j_1, j_2; m_1, m_2 | j_1, j_2; j_m \rangle$.

• Matriz unitária e real e ortogonal: $M^T M = M M^T = I$ (T = transpose)

Aqui uso
também a
Simetria
da matriz

$$\left\{ \begin{aligned} &\Rightarrow \sum_j \sum_m \langle j_1, j_2; m_1, m_2 | j_1, j_2; j_m \rangle \langle j_1, j_2; m_1, m_2 | j_1, j_2; j_m \rangle = \\ &\hspace{10em} S_{m_1, m_1} S_{m_2, m_2} \\ &\Rightarrow \sum_{m_1} \sum_{m_2} \langle j_1, j_2; m_1, m_2 | j_1, j_2; j_m \rangle \langle j_1, j_2; m_1, m_2 | j_1, j_2; j_m \rangle = S_{j_1, j_1} S_{j_2, j_2} \end{aligned} \right.$$

(também podem ser vistos como consequência da orthonormalidade das bases)

Calculando coeficientes de CG (Clebsch-Gordan)

- Vamos encontrar uma relação de recorrência que permitirá calcular os coeficientes de CG.

$$J_{\pm} |j_1 j_2 j_m\rangle = (J_{1\pm} + J_{2\pm}) \left(\sum_{m_1 m_2} \langle j_1 j_2 | m_1 m_2 \rangle \times \langle j_1 j_2 | m_1 m_2 \rangle \right) |j_1 j_2 j_m\rangle$$

- Usa a acção conhecida dos op. \hat{J}_{\pm} dos dois lados da equação:

$$\begin{cases} J_+ |j_m\rangle = \sqrt{(j-m)(j+m+1)} |j, m+1\rangle \\ J_- |j_m\rangle = \sqrt{(j+m)(j-m+1)} |j, m-1\rangle \end{cases}$$

$$\Rightarrow \sqrt{(j-m)(j+m+1)} |j_1 j_2, j, m\pm 1\rangle$$

$$= \sum_{m_1} \sum_{m_2} \left(\sqrt{(j_1+m_1)(j_1+m_1+1)} |j_1 j_2; m_1 \pm 1, m_2\rangle + \sqrt{(j_2+m_2)(j_2+m_2+1)} |j_1 j_2; m_1, m_2 \pm 1\rangle \right)$$

$$\bullet \langle j_1 j_2, m_1 m_2 | j_1 j_2, j_m \rangle$$

- Agora ~~elimina~~ multiplica por $\langle j_1 j_2 | m_1 m_2 \rangle$ (pela operadora), e o "sanduíche" elimina todos os termos do l.d., exceto

$$m_1 = m_1 \pm 1, \quad m_2 = m_2 \quad (\text{1º termo do l.d.})$$

$$m_1 = m_1, \quad m_2 = m_2 \pm 1 \quad (\text{2º termo do l.d.})$$

$$\Rightarrow \boxed{\sqrt{(j-m)(j+m+1)} \langle j_1 j_2, m_1 m_2 | j_1 j_2, j, m\pm 1 \rangle}$$

$$= \sqrt{(j_1+m_1+1)(j_1+m_1)} \langle j_1 j_2; m_1 \pm 1, m_2 | j_1 j_2, j_m \rangle$$

$$+ \sqrt{(j_2+m_2+1)(j_2+m_2)} \langle j_1 j_2, m_1, m_2 \pm 1 | j_1 j_2, j_m \rangle$$

- Com estas relações é possível elaborar uma tabela de coeficientes de Clebsch-Gordan - veja o Sakurai, cap. 3, 7.

Relações de recorrência
p/ coeficientes de
Clebsch-Gordan.